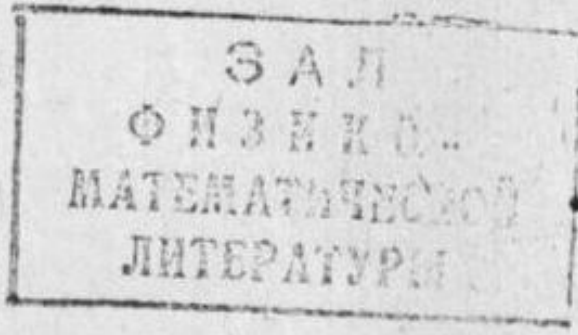


ПРОБЛЕМЫ
ТЕОРИИ
ГРАВИТАЦИИ
И ЭЛЕМЕНТАРНЫХ
ЧАСТИЦ

Выпуск 8

Под редакцией д-ра техн. наук
профессора К. П. Станюковича



МОСКВА АТОМИЗДАТ 1977

**УСТАНОВКА ДЛЯ ОБРАБОТКИ ЗАПИСЕЙ
ГРАВИТАЦИОННОГО ДЕТЕКТОРА**

В. А. Крысанов, В. Н. Руденко, А. А. Хорев

Поиски гравитационного излучения от космических объектов связаны с наблюдениями за совпадающими всплесками двух независимых, пространственно разнесенных на десятки и более километров гравитационных антенн [1—3]. Автоматизированный счет «совпадений» непосредственно в ходе эксперимента требует канала связи между антеннами. Это сильно усложняет эксперимент и, кроме того, может привести к появлению ложных коррелированных возмущений в электронике антенн. Поэтому в ряде опытов, как и в экспериментах [2, 3], совпадения отыскивались апостериори в ходе анализа записей антенн, снабженных синхронизированными метками времени. Однако обработка многосуточных записей вручную чрезвычайно трудоемка, что практически исключает возможность ее повторения и снижает надежность выводов.

Ниже описывается простая полуавтоматическая система обработки выходного сигнала гравитационного детектора, запи-

списанного на фотопленке. Система записи и вид сигнала вместе с временными метками приведены в работах [2, 3]. На фотопленке (с экрана осциллографа) фиксируется шумовая «дорожка», представляющая вариации амплитуды колебаний гравитационного детектора с течением времени.

Методика обработки записи подробно дана в работах [3, 4]. Процедура обнаружения внешнего воздействия на грави детектор сводится к операции разностного звена с временем задержки, равным длительности воздействия $\hat{\tau}$, и сравнению разности с некоторым порогом, зависящим от шумовой статистики [5].

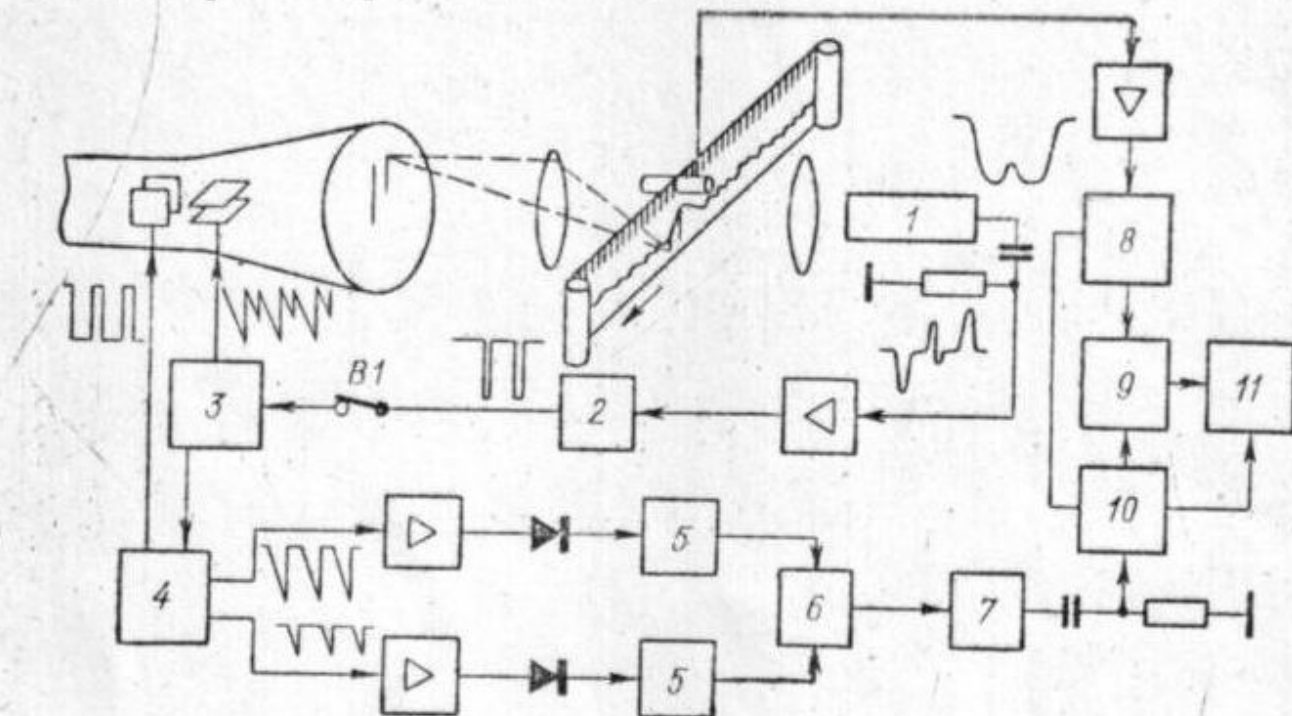


Рис. 1. Функциональная схема установки:

1 — ФЭУ; 2 — пороговое устройство; 3 — управляемый генератор пилообразного напряжения ГПН; 4 — коммутатор; 5 — ФНЧ с 40 гц; 6 — вычитающий усилитель; 7 — пороговое устройство; 8 — счетчик меток; 9 — блок переходных элементов; 10 — схема управления; 11 — цифровопечатающая машина

Таким образом, оператор должен все время следить за перепадами шумовой дорожки на фиксированном интервале $\hat{\tau}$. В местах подозрительных всплесков, превышающих заданный порог, оператор должен фиксировать временную метку. Итог обработки представляется набором подозрительных событий на разных пороговых уровнях с указанием времени каждого события, а также оценкой их полного числа. Сравнение обработки данных для двух антенн по временным меткам позволяет выявить совпадения с желаемой точностью.

Установка состоит из двух основных частей — блока воспроизведения сигнала в электрической форме и блока операционной обработки по заданному алгоритму, а также трех вспомогательных — схемы коммутации для слежения за близкими участками записи, схемы меток времени и системы печати. Общую функциональную структуру установки см. на рис. 1.

Пленка с записью сигнала гравдектектора протягивается между точечным оптическим источником и ФЭУ. Источником служит сфокусированное на экране электронно-лучевой трубы световое пятно. Объектив дает изображение пятна на пленке. Пятно сканируется снизу вверх, обеспечивая сигнал срыва развертки на выходе ФЭУ в момент пересечения шумовой дорожки. Такой способ считывания неоднократно использовался ранее, например в [6, 7]. Огибающая пилообразного напряжения развертки повторяет структуру кривой на пленке. Этот сигнал поступает в операционную схему, где формируется разность двух значений огибающей, сдвинутых на выбранный временной интервал $\hat{\tau}$. Пороговое устройство выдает командный импульс в случае превышения разностью заданного уровня. Командный импульс заставляет цифропечатающую систему печатать значение временной метки (которое приходит от счетчика меток времени), соответствующей положению события.

Ключевой момент принятого алгоритма обработки — получение задержанного на интервал $\hat{\tau}$ значения огибающей. По специфике гравитационно-волнового эксперимента величина $\hat{\tau}$ должна принимать значение от долей секунды до десятков секунд [1—3]. Конструктивным решением в данной установке явилось применение коммутации сканирующего луча между двумя соседними (по горизонтали) точками на кривой записи. Такой способ позволил плавно регулировать время задержки в пределах 0,5—10 сек за счет изменения пространственного шага коммутации путем вариации коммутирующего напряжения на вертикальных пластинах электронно-лучевой трубы. Частота коммутации равнялась частоте сканирования, т. е. с каждым периодом развертки горизонтальная координата луча скачком принимала одно из двух выбранных положений. Выходное напряжение с генератора развертки с помощью коммутатора разделялось по двум каналам в соответствии с двумя положениями следующего луча на пленке, так что частота несущей в каждом канале составляла половину частоты сканирования. Дальнейшее выделение огибающей и получение разности для двух каналов не содержит принципиальных трудностей. Нестабильность скорости протяжки пленки при достаточной частоте коммутации не играет роли. Схема коммутатора дана на рис. 2.

Запись в экспериментах [2, 3] осуществлялась со скоростью 0,55 мм/сек. В данной системе обработки скорость протяжки составляла 7 мм/сек, т. е. время обработки в 12—13 раз меньше времени записи. Система протяжки была выполнена на основе протяжного механизма потенциометра ЭПП-09. В качестве сканирующего элемента применялась электронно-лучевая трубка 8Л029И с временем послесвечения порядка 10^{-4} сек. Максимально допустимая частота сканирования достигала 6 кгц, ми-

нимальная ширина изображения луча на пленке 0,2 мм при такой же толщине линии записи. Приемником служил ФЭУ-51 с максимумом чувствительности в фиолетовой области спектра.

Секундные метки времени, записанные в виде темных полосок вверху пленки, считывались простейшей теневой комбинацией: источник, щель, фотодиод, — расположенной вплотную

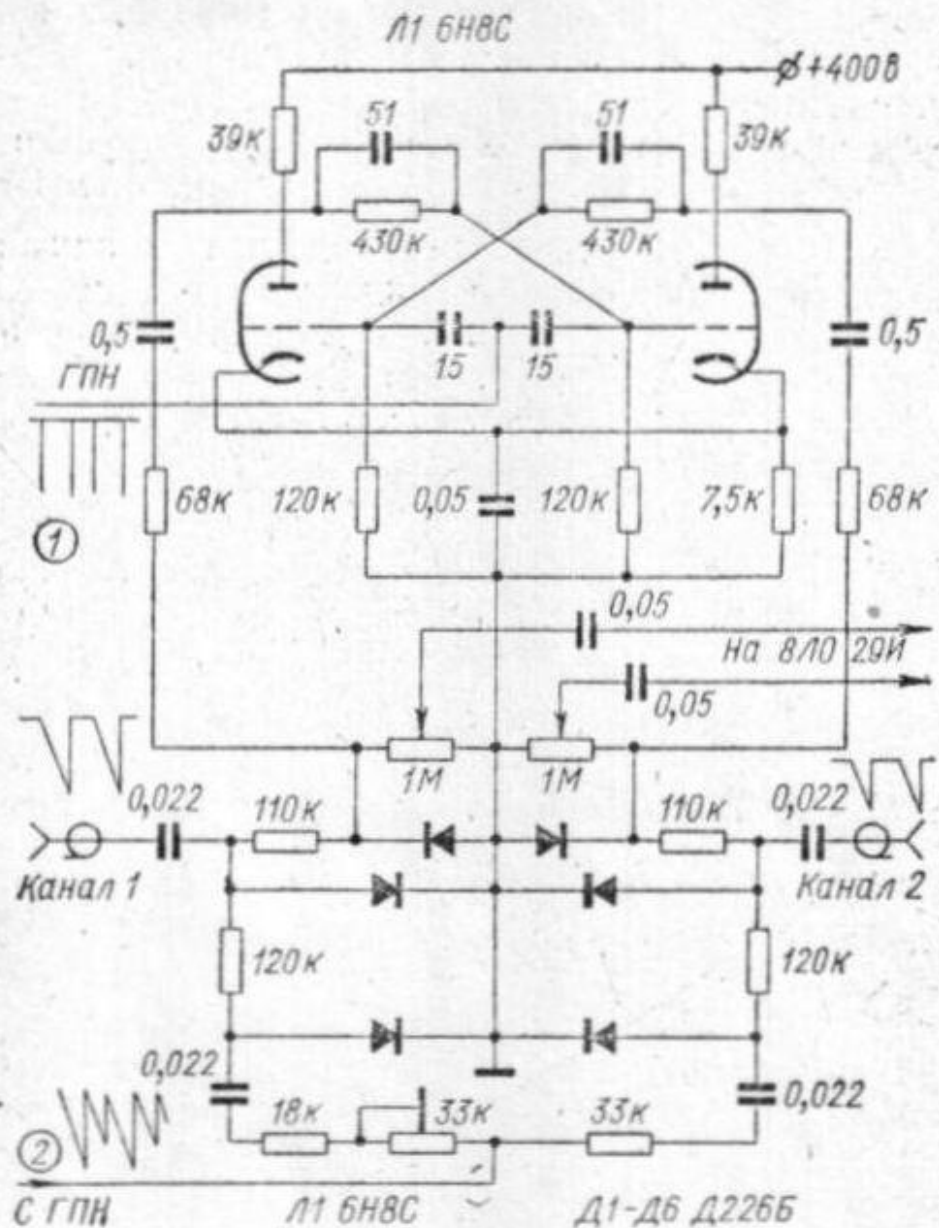


Рис. 2. Принципиальная схема коммутатора:
1 — импульс обратного хода (гашение луча); 2 — выходной сигнал ГПН

по обе стороны пленки. Сигнал с фотодиода после усиления и ограничения подавался на счетчик меток—цифровой частотометр Ф576 в режиме счета импульсов.

Система печати состояла из машинки ЦАМ-1, блока электронных ключей и схемы управления. ЦАМ-1 подключалась к выходу частотомера только на время порядка 50 мсек — меньше интервала следования секундных меток 80—100 мсек. Воспринятое в двоично-десятичном коде значение метки хра-

нилось в памяти машинки до поступления импульса, разрешающего печать. Этот импульс и команды электронным ключам вырабатывались схемой управления (рис. 3), на которую подавались сигналы счета меток и командный импульс из операционного блока.

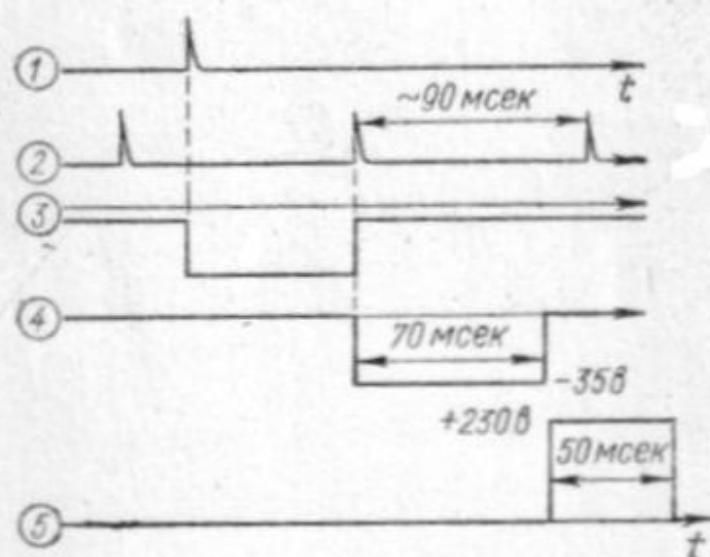
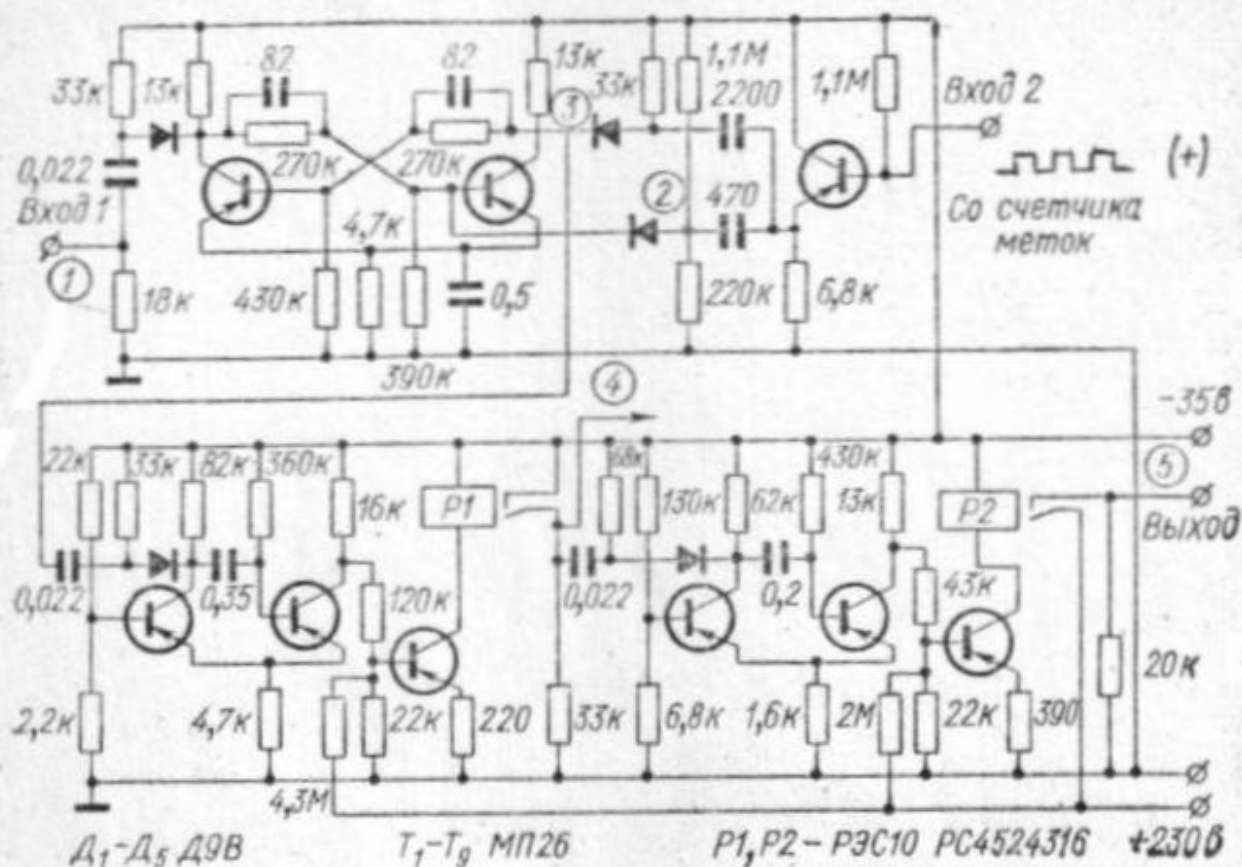


Рис. 3. Схема управления:

1 — командный импульс; 2 — метка времени; 3, 4 — стоп-сигнал на включение переходных элементов; 5 — импульс «печать»

Градуировка проводилась с помощью эталонной пленки с записью ступеньки заданной высоты. Перепад воспринимался следящими лучами, и по разбалансу разностного звена в операционном блоке определялась чувствительность. Меняя усиление, можно было менять чувствительность в пределах 15—70 в/мм. При записи в эксперименте [2, 3] пленка снабжалась вертикальным масштабом в единицах ббр — броуновского стандарта тепловых колебаний гравитационного детектора. Исполь-

зуя эту информацию, можно по чувствительности задать момент срабатывания порогового элемента соответственно счету импульсов, превышающих 1обр , 2обр и т. д. в течение интервала τ , фиксированного расстоянием между лучами. Кроме режима с двумя лучами (счет «крутых импульсов») установка допускала второй режим (счет «пологих импульсов»). Коммутатор выключался, и на разностную схему поступали сигналы, пропорциональные мгновенной амплитуде и среднему шумовому уровню за время 60—70 сек записи. В этом режиме регистрировались импульсы выше заданного порога с произвольной крутизной.

Результатом обработки является печатная лента с временными метками, указывающими моменты появления импульсов с заданными параметрами. Сопоставляя ленты для двух независимых гравдекторов, легко обнаружить совпадающие всплески и восстановить их истинное время. Подавая на частотометр вместо отметок временных интервалов командный импульс, можно провести простой счет всплесков для оценки шумовой статистики. На описанной установке была проведена контрольная обработка пленок с записью эксперимента МГУ—ИКИ 1973 г. [3]. Результаты совпали с данными таблицы, приведенной в [3], в пределах указанной там погрешности 30%, гарантированной ручной обработкой. В целом данная установка обладала следующими техническими характеристиками: нестабильность счета (воспроизводимость) не хуже 10%, погрешность фиксации порога порядка 2%, погрешность временного отсчета порядка 0,3 сек. Отметим в заключение, что установка может быть использована в любых экспериментах, в которых короткое воздействие регистрируется по отклику высокодобротного осциллятора или ищутся совпадения на сильно разнесенных объектах.

Авторы благодарят проф. В. Б. Брагинского за постановку проблемы и советы в процессе работы.

СПИСОК ЛИТЕРАТУРЫ

1. Weber J. Gravitational radiation experiments.—«Phys. Rev. Lett.», 1970, v. 24, p. 276; Anisotropy and polarization in the gravitational radiation experiments.—«Phys. Rev. Lett.», 1970, v. 25, p. 180.
2. Поиски гравитационного излучения внеземного происхождения.—«Письма в ЖЭТФ», 1972, т. 16, с. 157. Авт.: Брагинский В. Б., Манукян А. Б., Попов Е. И., Руденко В. Н., Хорев А. А.
3. Верхний предел плотности гравитационного излучения внеземного происхождения.—«Журн. эксперим. и теор. физ.», 1974, т. 66, с. 801. Авт.: Брагинский В. Б., Манукян А. Б., Попов Е. И., Руденко В. Н., Хорев А. А.
4. Гусев А. В., Руденко В. Н. Статистический анализ совпадающих откликов гравитационных антенн.—«Астрон. вестн.», 1973, т. 7, с. 193.
5. Брагинский В. Б., Манукян А. Б. Измерение малых сил в физических экспериментах. М., «Наука», 1974.

6. Джобс Д. Сканирующая установка для дискретизации осцилограмм.— «Приборы для научных исследований», 1968, № 10, с. 24.
7. Автомат на электронно-лучевой трубке для обработки фильмовой информации.—«Приборы и техн. эксперим.», 1975, № 1, с. 44. Авт.: Крюченко Е. В., Кучин Ю. М., Рабин Б. М., Уточкин Б. А.

— — — — — ГЛАВНАЯ ТЕМАТИКА ДОКЛАДОВ